

ISSN 0552—5829

АКАДЕМИЯ НАУК СССР  
АСТРОНОМИЧЕСКИЙ СОВЕТ  
и  
ГЛАВНАЯ АСТРОНОМИЧЕСКАЯ ОБСЕРВАТОРИЯ

СОЛНЕЧНЫЕ ДАННЫЕ  
1985 г.

БЮЛЛЕТЕНЬ  
№ 3

МАРТ

(ОТДЕЛЬНЫЙ ОТТИСК)



ЛЕНИНГРАД  
«НАУКА»  
ЛЕНИНГРАДСКОЕ ОТДЕЛЕНИЕ  
1985

6. Каргинский В.Н. Фотометрический профиль гранулы и горизонтальные производные яркостной температуры в грануляции. - Солнечные данные, 1981, № 1, с.88-91.

Главная астрономическая  
обсерватория АН СССР

Поступила в редакцию  
23 ноября 1985 г.

Исследование крутильных колебаний солнечных пятен

А.А.Певцов, И.С.Саттаров

A Study of Helical Oscillations in Sunspots

A.A.Pevtsov and I.S.Sattarov

**Abstract**

On the basis of observations and published data on 17 sunspots helical oscillations of different types have been detected: close to harmonic, and increasing and decreasing with time (Figure 1a). The mean period of oscillations is  $T=7.1 \pm .0$  days, mean amplitude  $A = 40 \pm 23^\circ$ , mean rate of rotation  $c=17 \pm 15^\circ/\text{day}$ . The depth of the penetration of the sunspot under the photosphere has been evaluated as 7500 km and the mass of oscillating substance as  $M=2 \cdot 10^{23} g$  using a simple mathematical model. The kinetic energy of rotation of the sunspots attains  $1 \times 10^{34} \text{ erg}$ .

Наблюдаемое вращение солнечных пятен можно разделить на два типа движений: 1) вращение пятна как геометрического целого, 2) вращение газа в самом пятне, вызванное движением вещества вдоль спиральных волокон полутени. Тогда тангенциальная составляющая скорости движения вещества в эффекте Эвершеда, по существу, является суммой двух названных типов вращения. Таким образом, для изучения движения второго типа недостаточно одних спектральных наблюдений, необходимо знать вращение пятна как целого. Последнее, в свою очередь, можно исследовать путем анализа последовательных фотографий пятна. такое вращение изучали Р.С.Гневышева [1], С.И.Гопасюк [2-4] и другие [5-8].

Вращение солнечного пятна как целого бывает нестационарным: пятна совершают крутильные колебания [3-4]. Исследование таких колебаний позволяет оценить глубину пятна [9] и структуру его подфотосферного магнитного поля [10]. Полученные оценки глубины пятна сильно различаются в зависимости от выбранного метода расчета. А.А.Соловьев [9] используя уравнение динамики колебаний пятен в биполярной группе и известное из теории магнитной гидродинамики соотношение для вращающегося момента оценил глубину в 3200 км. Оценка глубины, сделанная С.И.Гопасюком исходя из описания крутильной волны как альвеновской, распространяющейся из-под фотосфера, дала глубину в 100 тыс.км.

Целью данного исследования было выбрано изучение характеристик крутильных колебаний солнечных пятен.

№	Азимут реферной линии по днем									Т <sub>сутки</sub>	A°	R", с/сут- ки	№ групп по бло- тено "Солнечные данные"
	1	2	3	4	5	6	7	8	9				
I	0°	32°	60°	68°	68°					(6)	(16)	J7	1961 № 251
2	0	-2	-7	II	-6							4	1962 № 100
3	0	-2	-7	-II	-6							8	1974 № 140
4	0	-17	-19	-II	90	72°						8	(2) (I)
5	122	135	142	102	17	I6	21°			10	35	23.2	1980 № 268
6	85	84	44	20	170	199	214°			13	34	18.7	1980 № 268
7	150	139	135	149	166	170	168			12	42	36.9	1980 № 269
8	155	92	45	96	158	154	162			3			1981 № 154
9	I2	-	74	88	142	80	10	-	0°	8	80	20.0	34
10	0	19	33	68									1969 № 357
II	195	194	202	213	215	215				6		23	1977 № 98
12	220	250	102	II3						75			1980 № 332
13	295	301	307	302	289	306	314	311		4			1983 № 120
14	2	2	16	18	21	5				5	14	14.0	1981 № 513
15	132	124	134	159	203	215				4	10	18.7	1980 № 381
16	46	67	72	89	93	84	83	90	78	8	47	26.5	1982 № 312
17	331	329	331	353	366	370	365	359	350	8	22	20.7	1980 № 201
										7.1	40	21.0	17
										3.0	23	15	
Среднее Дисперсия													

Материалом для работы послужила серия снимков пятна, полученная А.А. Певцовым на горизонтальном солнечном телескопе (ГСТ) в Пулкове (пленка "Микрат-200", светофильтр ОС-12, время экспозиции 0.002 сек, масштаб изображения  $3 \text{ mm}^{-1}$ ), фотогелиограммы Астрономического института АН Уз. ССР, полученные И.С. Саттаровым (масштаб изображения  $24 \text{ mm}^{-1}$ ), и данные других авторов [2-8]. Всего было обработано 17 серий наблюдений по следующей методике.

На снимке выбиралось несколько реперных точек (от 2 до 5), характерных для структуры тени и полутиени изучаемого пятна и их координаты измерялись на микроскопе УИМ-23. Затем измерения исправлялись за эффекты проекции и определялся угол (азимут) между суточной параллелью и прямой линией, проходящей через две реперные точки (названной нами реперной линией). В качестве реперов выбирались точки, которые прослеживались на следующих снимках, сохраняли свою конфигурацию и взаимные расстояния. В дальнейшем изучалось изменение азимута реперной линии. Если реперных линий на снимке было несколько, вычислялась средняя величина углового поворота пятна.

Анализ результатов обработки (см. таблицу) показал наличие вращения у большинства наблюдавшихся пятен. У многих из них направление вращения менялось со временем. Движения такого типа С.И. Гопасик [3, 4] рассматривает как крутильные колебания. На рис. Ia дан пример графиков изменения азимута ( $A$ ) реперной линии со временем (номер графика соответствует номеру в таблице). Известно [II], что зависимости такого вида описывают колебательные процессы. Из 17 рассмотренных пятен три пятна совершали гармонические колебания (# 9, 12, 14), три пятна колебались с затуханием (# 8, 16, 17), одно с нарастанием (# 13), у одного пятна колебания практически отсутствовали (# II). Колебания остальных пятен удалось классифицировать лишь приблизительно, поскольку промежуток времени, охваченный наблюдениями, был, по-видимому, существенно меньше их периода колебаний. Возможно, каждое пятно в своем развитии проходит через все названные типы колебаний: сначала покоятся, затем колеблется с нарастающей амплитудой, некоторое время гармонически и, наконец, с затуханием.

Для всех 17 пятен были определены средние скорости ( $C$ ) вращения, для 14 из них — периоды ( $T$ ) и амплитуды ( $A$ ) колебаний (неуверенные значения взяты в скобки, звездочкой отмечены периоды колебаний, полученные С.И. Гопасиком [3]). Средний период колебаний составляет  $7.1 \pm 3.0$  суток, амплитуда  $40 \pm 23^\circ$ , средняя скорость вращения  $17 \pm 15^\circ/\text{сут}$ .

Крутильные колебания в биполярных группах пятен наблюдали С.И. Гопасик [3] и Анталова [5]. В первом случае составляющие группу пятна врашались синфазно (рис. Ia построен по данным С.И. Гопасика [3]), во втором — в противофазе (рис. Iб) с близкими периодами (10 и 13 суток соответственно).

Крутильные колебания пятен приближенно можно описать уравнением

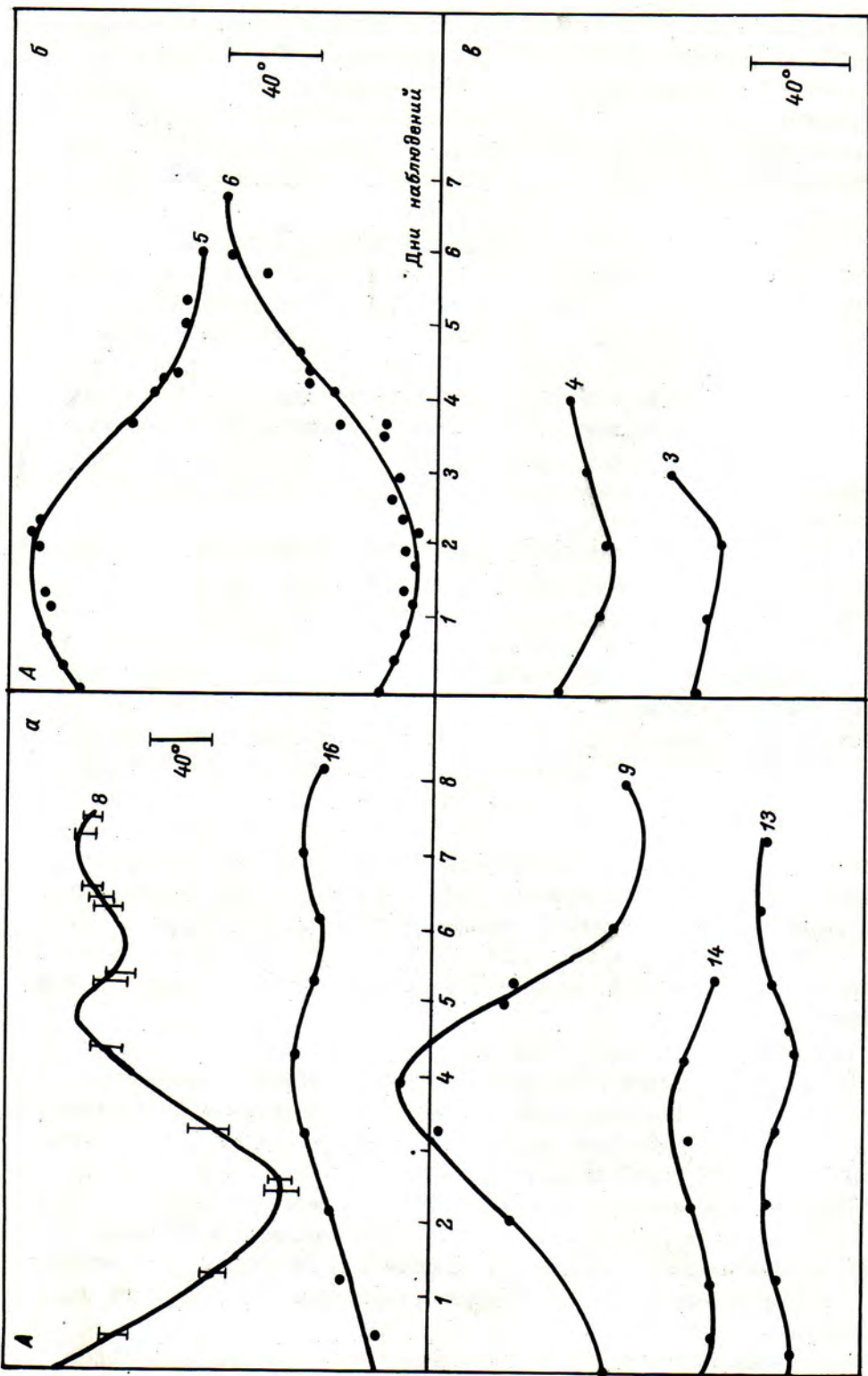


Рис. I

$$T = \sqrt{(4\pi^2 + d^2) \frac{I}{K}},$$

где  $T$  – период колебаний,  $d$  – логарифмический декремент затухания,  $I$  – момент инерции колебательной системы,  $K$  – крутильная жесткость. Для гармонических колебаний имеем

$$T = 2\pi(I/K)^{1/2}. \quad (I)$$

Пользуясь этим уравнением, оценим массу и глубину той части пятна, которая принимает участие в колебаниях. Будем считать пятно цилиндром радиуса  $R$ , высоты  $h_0$ , который совершает колебания за счет упругости магнитного поля. Момент инерции такого цилиндра равен

$$I = \frac{MR^2}{2} = \frac{\pi R^4}{2} \int_0^{h_0} \rho(h) dh,$$

где  $M$  – масса цилиндра (пятна),  $\rho$  – плотность вещества. С учетом этого и уравнения (I) запишем

$$M = \left(\frac{T}{\pi R}\right)^2 \frac{K}{2}; \quad \int_0^{h_0} \rho(h) dh = \left(\frac{T}{\pi R^2}\right)^2 \frac{K}{2\pi}.$$

Для оценки величины  $K$  воспользуемся упрощенной моделью магнитного поля пятна.

Пусть силовые линии магнитного поля выходят из оснований цилиндра и закреплены на расстоянии  $l$  в окружающей фотосфере. (рис.2, АВ – направление силовых линий,  $l$  – характерный размер биполярной группы  $l = \approx 10^\circ = 1.2 \cdot 10^{10}$  см). Для поворота цилиндра на угол  $\varphi$  необходимо приложить закручивающий момент  $K_M$ . Если  $F(r)$  – момент силы для одной силовой линии, а  $N(r)$  – число силовых линий с моментом  $F(r)$ , то

$$K_M = \int_S F(r) N(r) dS = \iint_{\text{окружающей сфере}} F(r) N(r) dr d\varphi = 2\pi \int_0^R f(r) r^2 dr,$$

где  $f(r)$  – тангенциальная составляющая силы натяжения магнитного поля.

Поскольку  $f(r) = \frac{H_z^2(r)}{4\pi} \sin\alpha$  ( $H_z$  – вертикальная составляющая поля), а  $\sin\alpha \approx \frac{\varphi r}{l}$  (см. рис.2), то

$$K_M = \frac{\varphi}{2l} \int_0^R H_z^2(r) r^3 dr.$$

Для распределения магнитного поля

$$H_z(r) = H_0 \exp(-2.1 \frac{r^2}{R^2}),$$

взятого из справочника Аллена [12], получим

$$K_M = \frac{\varphi}{762} H_0^2 R^4,$$

$H_0$  – напряженность магнитного поля в центре пятна. Крутильная жесткость равна закручивающему моменту, необходимому для поворота тела на  $1$  радиан, следовательно,

$$K_M = \frac{1}{762} H_0^2 R^4.$$

Окончательно получаем

$$M = \left( \frac{TH_0R}{\pi} \right)^2 \frac{1}{152\pi l} ; \int_0^{h_0} \rho(h) dh = \left( \frac{TH_0}{\pi} \right)^2 \frac{1}{152\pi l}. \quad (2)$$

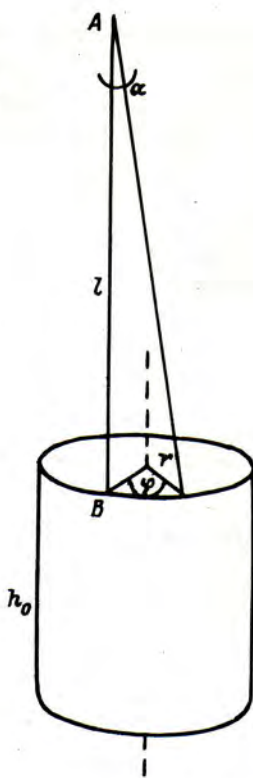


Рис.2

Воспользовавшись распределением плотности  $\rho$  из известной модели атмосферы Солнца (например, Аллен [12]) и формулами (2), оценим глубину и массу солнечного пятна. Тогда для  $H_0 = 2000$  Гс и  $T = 7.1$  суток глубина пятна от уровня  $T_{5000} = I$  составит 7500 км. Масса вещества, принимающего участие во вращении, равна (для  $R = 2I''$ )  $M = 2 \cdot 10^{23}$  г. Таким образом, глубина пятна по крайней мере в 4 раза меньше его диаметра. Кинетическая энергия вращения пятна составляет  $1 \cdot 10^{31}$  эрг, что сравнимо с энергией солнечной вспышки. Отметим, что ошибка этих оценок, возникающая из-за замены  $2 \sin \frac{\varphi}{2}$  на  $\varphi$  в соотношении для  $\sin \alpha$  не превышает 5% для  $\varphi = 40 \pm 23^\circ$ .

Предлагаемый нами метод оценки глубины пятна применим (в отличие от предыдущих работ [9, 10]) не только к гармоническим, но и к затухающим (нарастающим) колебаниям, если вместо (1) использовать выражение

для периода колебаний с декрементом затухания. Заметим далее, что формула (2) с точностью до коэффициента совпадает с аналогичным соотношением, выведенным Соловьевым из других соображений [9]. Нами использовались другие, чем в его работе модель атмосферы Солнца и распределение магнитного поля в пятне. Сравнение результатов данной работы с [9] показывает, что использование различных модельных представлений не должно приводить к большим различиям в оценке глубины проникновения пятна под фотосферу.

В заключение авторы считают своим приятным долгом выразить благодарность Э.В.Кандрову за общее руководство работой, Г.Б. Гельфрейху и А.А.Соловьеву за полезное обсуждение.

#### Литература

1. Гневышева Р.С. Вихревые движения в солнечной фотосфере - АЖ, 1941, т.18, вып. I, с.26-30.
2. Гопасюк С.И. Временные изменения структуры поперечного магнитного поля в группах пятен и оптические явления. - Изв. КрАО, 1965, т.33, с.100-110.
3. Гопасюк С.И. Некоторые особенности вращения пятен. - Изв. КрАО, 1981, т.64, с.108-118.
4. Gopasyuk S.I. Motions in Sunspots Like Torsional Oscillations.- In: Sun And Planetary System, Dordrecht: D.Reidel Publ., 1982, p.125-126.
5. Antalová A. The Motions of the Umbras in Hale Active Regions I6862 and I6863. - EAC, 1983, vol. 34, N 2, p.96-99.
6. Kučera A. Irregular Rotation of the Main Sunspot in Active Region Hale I7570 of 5-I3 April 1981. - EAC, 1982, vol.33, N 6, p.345-349.
7. Miller R.A. Unusual Rotation of a Sunspot 30 September to 8 October 1969. - Solar Phys., 1971, vol.16, N 2, p.373-378.
8. Korobova Z.B. Rotation of a Sunspot in the Active Region McMath I4943.- World Data Centr.A.Solar-Terr.Phys Rept., 1982, N 83, part 3, p.13-14.
9. Соловьев А.А.Крутильные колебания пятен. - Солн.данные, 1984, № I, с.73-78.
10. Гопасюк С.И. Крутильные колебания и диагностика структуры подфотосферного магнитного поля. - АЖ, 1984, т.61, вып. I, с.157-162.
11. Андронов А.А., Витт А.А., Хайкин С.Э. Теория колебаний.- М.: Физматгиз, 1959. - 915 с.
12. Аллен К.У. Астрофизические величины. - М.: Мир, 1977.- 446 с.

Главная астрономическая  
обсерватория АН СССР,

Поступила в редакцию  
22 июня 1984 г.